

Применение вейвлетов в системах автоматизированного проектирования

Битюков Ю.И.*, Калинин В.А.**

Московский авиационный институт (национальный исследовательский университет), МАИ, Волоколамское шоссе, 4, Москва, А-80, ГСП-3, 125993, Россия

**e-mail: yib72@mail.ru*

***e-mail: kalininmtak@gmail.com*

Аннотация

Данная статья посвящена применению теории вейвлетов в задачах геометрического моделирования конструкций летательных аппаратов. Представленные методы моделирования используются в CAD/CAM/CAE – системах изготовления конструкций из композиционных материалов. В качестве примера рассмотрена вентиляторная лопатка самолета МС-21.

Ключевые слова: вейвлет, системы автоматизированного проектирования, сплайн, геометрическое моделирование, алгоритм Чайкина, фильтр анализа, фильтр синтеза, блок фильтров.

Введение

При проектировании сложной техники постепенно происходит переход от традиционных средств обработки геометро–графической информации к безбумажным технологиям. Это открывает новые возможности по

использованию систем автоматизации проектирования, порождает новые технологии, связанные с использованием электронной модели объекта проектирования.

В настоящее время на предприятиях, занимающихся проектированием и изготовлением сложной авиационной техники, активно используются CAD/CAM/CAE/PDM–системы. Это обусловлено целым рядом причин, среди которых главное место занимают проблемы управления качеством выпускаемой продукции особенно при её выходе на мировой рынок. Базируясь на принципах оптимизации и контроля параметров изделий на всех этапах проектирования и изготовления, такие системы обеспечивают комплексное выполнение проектных работ при значительном сокращении их сроков и одновременном повышении качества. Основной целью при этом является постоянное снижение себестоимости выпускаемой продукции и обновление ее ассортимента, улучшение показателей надежности, ремонтпригодности, экономичности и др.

В CAD/CAM/CAE-системах традиционно уделяется повышенное внимание совершенствованию технологии геометрического трехмерного моделирования. Одним из основных достижений современного периода можно считать разработку методов моделирования кривых и поверхностей произвольной формы на основе технологии Bezier (Безье) и NURBS, ставшей международным промышленным стандартом для проектирования сложных криволинейных поверхностей. Однако главной проблемой здесь является не

столько сам процесс моделирования, сколько способы модификации и оптимизации созданных геометрических моделей, что очень критично при итерационном режиме работы конструктора. Кроме того, известно, что наибольший объем работ занимает не сам процесс проектирования, а итерационный процесс внесения в проект улучшающих изменений. Именно поэтому сегодня актуальными являются проблемы совершенствования методов геометрического моделирования трехмерных объектов, использующих стандартный для CAD/CAE/CAM-систем математический аппарат, а также адаптации этих методов для конкретных промышленных приложений.

Вейвлеты являются математическим инструментом для иерархического представления функций. Имея своими исконными областями применения теорию приближения, физику и обработку сигналов, вейвлеты с недавних пор стали использоваться во многих задачах геометрического моделирования преимущественно в компьютерной графике [6]. Некоторые применения в CAD-системах можно найти в работе [4]. Если в компьютерной графике бывает достаточно лишь видимой гладкости кривых и поверхностей, то в CAD/CAM/CAE-системах требуются поверхности, принадлежащие различным классам гладкости C^k . Данная статья является развитием результатов, полученных в работах [1,2,3]. В этой статье мы построим вейвлет-базис на отрезке, на основе B-сплайна произвольного порядка n . С помощью такого вейвлет-базиса будут построены двумерные вейвлеты. На

основе этих построений будет обобщен известный алгоритм Чайкина построения кривых и поверхностей произвольного класса гладкости. Следует заметить, что в работе [3] вейвлет-базис был построен для случая $n=3$, а в работе [1] для случаев $n=0,1,2,3$.

Построение вейвлет-базиса на отрезке с использованием В-сплайнов

Под вейвлет-преобразованием в теории вейвлетов понимается разложение функции по системе вейвлетов $\psi_{j,k}$ – функций, каждая из которых является сдвинутой и масштабированной (сжатой или растянутой) копией одной функции $\psi \in L^2(\mathbf{R})$, называемой материнским вейвлетом:

$$\psi_{j,k}(x) = \psi(2^j x - k).$$

Построение вейвлет-систем тесно связано с понятием кратномасштабного анализа (КМА) [10], т.е. последовательности $\dots \subset V_{-1} \subset V_0 \subset V_1 \subset \dots$ подпространств $L^2(\mathbf{R})$, для которой $\overline{\bigcup_{j \in \mathbf{Z}} V_j} = L^2(\mathbf{R})$; $\bigcap_{j \in \mathbf{Z}} V_j = \{0\}$; $f(x) \in V_0 \Leftrightarrow f(2^j \cdot x) \in V_j, \forall j \in \mathbf{Z}$; существует функция $\varphi \in V_0$, называемая масштабирующей функцией или отцовским вейвлетом, такая, что последовательность $\{\varphi_{0,k}\}_{k \in \mathbf{Z}}$ образует базис Рисса в V_0 .

Известно, что [7] масштабирующая функция удовлетворяет масштабному соотношению

$$\varphi(x) = \sqrt{2} \sum_{k \in \mathbf{Z}} u_k \varphi(2x - k), \quad u_k \in \mathbf{C}.$$

Последовательность $\{u_k\}_{k \in \mathbf{Z}}$ называется масштабной последовательностью.

КМА приводит к базису в $L^2(\mathbf{R})$. Как известно [9,11], применение таких базисов для разложения функции, определенной на отрезке, порождает искусственные скачки на краях, отраженные в значениях вейвлет-коэффициентов. Кроме того, это неэффективно с точки зрения вычислений. Поэтому полезными были бы вейвлет-системы на отрезке. Чтобы разложить функцию, определенную на отрезке $[a;b]$ необходимо построить вейвлет-базис в $L^2[a;b]$. В этой статье мы рассмотрим подход, предложенный в статьях [3, 1] и применим его к построению вейвлет-базиса на отрезке в случае, когда в качестве масштабирующей функции выбран В-сплайн произвольного порядка n .

Для геометрических приложений мы будем рассматривать действительное пространство $L^2(\mathbf{R})$. Рассмотрим действительные функции, определенные на отрезке $[a;b]$. Пусть функция $\varphi \in L^2(\mathbf{R})$ удовлетворяет масштабному равенству $\varphi(x) = \sqrt{2} \sum_{k \in \mathbf{Z}} u_k \varphi(2x - k)$, $u_k \in \mathbf{R}$ и имеет компактный носитель. Обозначим $\varphi_{jk}(x) = \varphi(2^j x - k)$, $x \in [a;b]$, $j, k \in \mathbf{Z}$. Ясно, что для каждого j отличными от нуля на отрезке $[a;b]$ будет лишь конечное число таких функций. Пусть для определенности это будут функции $\varphi_{j,0}, \varphi_{j,1}, \dots, \varphi_{j,n_j-1}$. Для дальнейших построений изложим кратко подход к построению вейвлет-систем на отрезке, предложенный в статье [3].

Рассмотрим последовательность $V_0 \subset V_1 \subset \dots$ подпространств $L^2[a;b]$

$$V_j = \text{lin} \left\{ \varphi_{j,0}, \varphi_{j,1}, \dots, \varphi_{j,n_j-1} \right\} = \left\{ \sum_{s=0}^{n_j-1} a_s \varphi_{j,s} : a_s \in \mathbf{R}, s = 0, 1, \dots, n_j - 1 \right\}, \quad \dim V_j = n_j.$$

Поскольку $V_{j-1} \subset V_j$, то $\varphi_{j-1,k} = \sum_{s=0}^{n_j-1} p_{s,k}^j \varphi_{j,s}$. Введем обозначения [3]

$$\Phi_j(x) = \left(\varphi_{j,0}(x), \varphi_{j,1}(x), \dots, \varphi_{j,n_j-1}(x) \right), \quad P_j = \left(p_{s,k}^j \right)_{s=0, k=0}^{n_j-1, n_j-1}.$$

Тогда $\Phi_{j-1} = \Phi_j P_j$. Обозначим символом W_{j-1} ортогональное дополнение к пространству V_{j-1} в пространстве V_j . Такое ортогональное дополнение в теории вейвлетов называется уточняющим или детализирующим подпространством [7], поскольку оно содержит информацию, необходимую для перехода от уровня разрешения j к уровню $j+1$. Поскольку $V_j = V_{j-1} \oplus W_{j-1}$

и $W_{j-1} \subset V_j$, то W_{j-1} конечномерное пространство. Если

$$W_j = \text{lin} \left\{ \psi_{j,0}, \psi_{j,1}, \dots, \psi_{j,m_j-1} \right\}, \quad \dim W_j = m_j, \quad \text{то } \psi_{j-1,k} = \sum_{s=0}^{n_j-1} q_{s,k}^j \varphi_{j,s}.$$

Функции $\psi_{j,k}$ называются вейвлетами, а детализирующие пространства W_j называются вейвлет-пространствами [7]. Снова введем в рассмотрение матрицы [3]

$$\Psi_j(x) = \left(\psi_{j,0}(x), \psi_{j,1}(x), \dots, \psi_{j,m_j-1}(x) \right), \quad Q_j = \left(q_{s,k}^j \right)_{s=0, k=0}^{n_j-1, m_j-1}.$$

Тогда $\Psi_{j-1} = \Phi_j Q_j$. Следует заметить, что $n_j + m_j = n_{j+1}$.

Пусть $f \in L^2[a;b]$ и $S_j : L^2[a;b] \rightarrow V_j$ - проектор. Тогда приближение $S_j f$ можно разложить на более грубое приближение $S_{j-1} f$ и уточняющее слагаемое $S_{j-1}^W f$

$$S_j f = \sum_{k=0}^{n_j-1} c_{jk} \varphi_{jk} = S_{j-1} f + S_{j-1}^W f = \sum_{k=0}^{n_{j-1}-1} c_{j-1,k} \varphi_{j-1,k} + \sum_{k=0}^{m_{j-1}-1} d_{j-1,k} \psi_{j-1,k}.$$

Введем в рассмотрение два вектора коэффициентов

$$C_j = (c_{j,0}, \dots, c_{j,n_j-1})^T, \quad D_j = (d_{j,0}, \dots, d_{j,m_j-1})^T. \quad \text{Первый вектор описывает}$$

приближение функции f , а второй вектор представляет собой вейвлет-

коэффициенты, которые характеризуют отклонение $S_{j-1} f$ от $S_j f$. Имеем [3]

$$\Phi_j C_j = \Phi_{j-1} C_{j-1} + \Psi_{j-1} D_{j-1} = \Phi_j P_j C_{j-1} + \Phi_j Q_j D_{j-1}. \quad \text{Отсюда находим [3]}$$

$$C_j = P_j C_{j-1} + Q_j D_{j-1}. \quad \text{По данному равенству можно восстановить}$$

приближение $S_j f$ по более грубому приближению $S_{j-1} f$ и вейвлет-

коэффициентам. Поскольку линейные операторы (проекторы)

$V_j \rightarrow V_{j-1}$, $V_j \rightarrow W_{j-1}$ определяются некоторыми матрицами A_j, B_j , то

$$C_{j-1} = A_j C_j, \quad D_{j-1} = B_j C_j. \quad \text{Графически вейвлет-разложение аппроксимации}$$

$S_j f$ и вейвлет-восстановление этой аппроксимации можно изобразить в виде

диаграмм

$$\begin{array}{ccc} \overset{A_j}{C_j} \rightarrow \overset{A_1}{C_{j-1}} \rightarrow \dots \rightarrow C_1 \rightarrow C_0 & & \overset{P_j}{C_j} \leftarrow \overset{P_1}{C_{j-1}} \leftarrow \dots \leftarrow C_1 \leftarrow C_0 \\ \underset{B_j}{\square} \quad \underset{D_{j-1}}{\square} \quad \dots \quad \underset{B_1}{\square} \quad \underset{D_0}{\square} & & \underset{Q_j}{\square} \quad \underset{D_{j-1}}{\square} \quad \dots \quad \underset{Q_1}{\square} \quad \underset{D_0}{\square} \end{array}$$

Под вейвлет-преобразованием функции f будем понимать нахождение

векторов $C_0, D_0, D_1, \dots, D_{j-1}$.

Известна [3] связь между матрицами A_j, B_j и P_j, Q_j :

$$\begin{pmatrix} A_j \\ B_j \end{pmatrix} = (P_j \ Q_j)^{-1}.$$

Заметим, что

$$A_j \cdot P_j = E, \ B_j \cdot Q_j = E, \ A_j \cdot Q_j = 0, \ B_j \cdot P_j = 0, \ P_j \cdot A_j + Q_j \cdot B_j = E. \quad (1)$$

Матрица Q_j в статье [3] определяется из однородной системы линейных уравнений $T_j \cdot Q_j = 0$, где $T_j = P_j^T [(\Phi_j, \Phi_j)]$, а $[(\Phi_j, \Phi_j)] = ((\varphi_{j,i}, \varphi_{j,s}))_{i,s=0}^{n_j-1}$ - матрица скалярных произведений.

Матрицы Q_j и P_j известны как фильтры синтеза. Матрицы A_j и B_j известны как фильтры анализа. Множество $\{P_j, Q_j, A_j, B_j\}$ называется блоком фильтров.

Теперь применим описанный подход к построению вейвлет-системы на отрезке, используя в качестве масштабирующей функции В-сплайн произвольного порядка. Определим В-сплайны порядка n , как свертку [7]

$$N_n = N_{n-1} * N_0, \quad N_0(x) = \begin{cases} 1, & x \in [0;1), \\ 0, & x \notin [0;1). \end{cases}$$

Отметим некоторые известные свойства В-сплайнов [7]. Во-первых, $N_n(x) \geq 0, \forall x$. Во-вторых, $\text{supp} N_n(x) = [0; n+1]$. Хорошо известно [7] преобразование Фурье функции N_n :

$$\hat{N}_n(y) = \left(\frac{1}{\sqrt{2\pi}} \frac{\sin(y/2)}{(y/2)} \right)^{n+1} e^{-i(n+1)y/2}.$$

Имеем $\frac{\hat{N}_0(2y)}{\hat{N}_0(y)} = \frac{1}{2}(1 + e^{-iy}) = \delta_0(y)$. Отсюда находим

$$\hat{N}_n(2y) = (\hat{N}_0(2y))^{n+1} = (\hat{N}_0(y)\delta_0(y))^{n+1} = \hat{N}_n(y)(\delta_0(y))^{n+1} = \hat{N}_n(y)\delta_n(y),$$

$$\delta_n(y) = \frac{1}{2^{n+1}}(1 + e^{-iy})^{n+1} = \frac{1}{2^{n+1}} \sum_{k=0}^{n+1} C_{n+1}^k e^{-iky} = \frac{1}{\sqrt{2}} \sum_{k \in \mathbb{Z}} u_k e^{-iky}, \quad C_{n+1}^k = \frac{(n+1)!}{k!(n+1-k)!}.$$

Поэтому

$$u_k = \frac{C_{n+1}^k}{\sqrt{2}2^n}, \quad k \in \{0, 1, \dots, n+1\}; \quad u_k = 0, \quad k \notin \{0, 1, \dots, n+1\}.$$

Итак, функция $\varphi(x) = N_n(x)$, удовлетворяет масштабному равенству

$$\varphi(x) = \sum_{k=0}^{n+1} \frac{C_{n+1}^k}{2^n} \varphi(2x - k).$$

Построим последовательность подпространств $V_{\alpha,0} \subset V_{\alpha,1} \subset \dots$

пространства $L^2[0; \alpha(n+1)]$, $\alpha = 1, 2, \dots$, используя функцию $\varphi(x)$. Имеем

$$\varphi_{j,m}(x) = \varphi(2^j x - m) = \frac{1}{2^n} \sum_{s=2m}^{n+1+2m} C_{n+1}^{s-2m} \varphi_{j+1,s}(x).$$

Функция $\varphi_{j,m}(x) \neq 0$ на отрезке $[0; \alpha(n+1)]$, если $0 \leq 2^j x - m \leq n+1$. Таким

образом, m принимает следующие значения $-n, \dots, 2^j \alpha(n+1) - 1$ и

$\text{supp } \varphi_{j,m} = \left[\frac{m}{2^j}; \frac{m+n+1}{2^j} \right] \cap [0; \alpha(n+1)]$. Графики функций $\varphi_{j,k}$ на отрезке

$[0; \alpha(n+1)]$ представлены на рис.1. Итак,

$$\Phi_j = (\varphi_{j,-n}, \dots, \varphi_{j,2^j \alpha(n+1)-1}), \quad \dim V_{\alpha,j} = 2^j \alpha(n+1) + n.$$

Заметим, что линейное пространство $V_{\alpha,j} = \text{lin}\{\varphi_{j,-n}, \varphi_{j,-n+1}, \dots, \varphi_{j,2^j(n+1)-1}\}$

представляет собой пространство сплайнов степени n дефекта 1 с узлами на

сетке $\Delta: 0 < \frac{\alpha(n+1)}{2^j \alpha(n+1) - n} < \frac{2\alpha(n+1)}{2^j \alpha(n+1) - n} < \dots < \alpha(n+1)$, поскольку В-сплайны

образуют базис в таком пространстве [12]. Как известно [13], для любой

функции $f \in C[0; \alpha(n+1)]$ и любого числа $\varepsilon > 0$ существует для некоторого j

такой сплайн $g \in V_{\alpha,j}$, что $\|f - g\|_{C[0; \alpha(n+1)]} < \varepsilon$.

Поскольку множество непрерывных функций всюду плотно в

пространстве $L^2[0; \alpha(n+1)]$, то мы получаем $\overline{\bigcup_{j=0}^{+\infty} V_{\alpha,j}} = L^2[0; \alpha(n+1)]$.

Пусть $x \in [0; \alpha(n+1)]$, тогда $y = 2^j x \in [0; 2^j \alpha(n+1)]$. На отрезке

$[0; 2^j \alpha(n+1)]$ отличными от нуля могут быть только следующие В-сплайны

$$N_n(y+n), N_n(y+n-1), \dots, N_n(y), \dots, N_n(y-2^j \alpha(n+1)+1).$$

Из известного [7] тождества $\sum_{k \in \mathbf{Z}} N_n(x-k) \equiv 1, \forall x \in \mathbf{R}$, следует

$$\sum_{k=-n}^{2^j \alpha(n+1)-1} \varphi_{j,k}(x) = \sum_{k=-n}^{2^j \alpha(n+1)-1} N_n(2^j x - k) = \sum_{k=-n}^{2^j \alpha(n+1)-1} N_n(y - k) = 1, \forall x \in [0; \alpha(n+1)].$$

Поскольку $\dim V_{\alpha,j} = 2^j \alpha(n+1) + n$ и $V_{\alpha,j} = V_{\alpha,j-1} \oplus W_{\alpha,j-1}$, то

$$\dim W_{\alpha,j-1} = 2^{j-1} \alpha(n+1).$$

Учитывая, что $C_{n+1}^m = \frac{(n+1)!}{m!(n+1-m)!} = C_{n+1}^{n+1-m}$, и обозначив $p_m = C_{n+1}^m$,

получаем для четных $n = 2k$

$$p_0 = C_{2k+1}^0, p_1 = C_{2k+1}^1, \dots, p_k = C_{2k+1}^k, p_{k+1} = p_k, p_{k+2} = p_{k-1}, \dots, p_{2k+1} = p_0,$$

для нечетных $n = 2k + 1$

$$p_0 = C_{2k+2}^0, p_1 = C_{2k+2}^1, \dots, p_k = C_{2k+2}^k, p_{k+1} = C_{2k+2}^{k+1}, p_{k+2} = p_k, \dots, p_{2k+2} = p_0.$$

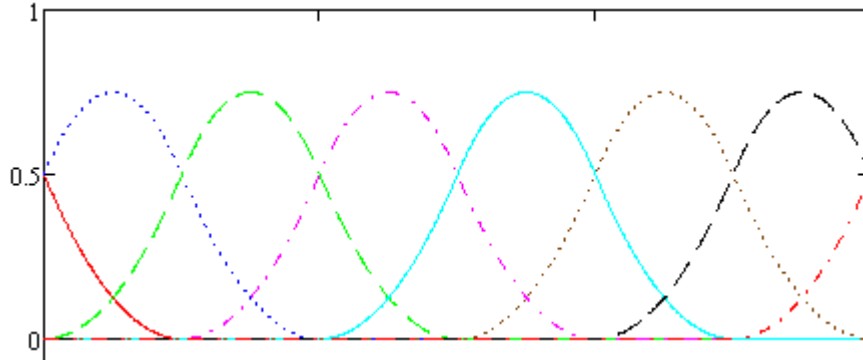


Рис. 1. Графики функций $\varphi_{j,m}$, $j=1, n=2, m=-2, -1, 0, \dots, 5, \alpha=1$

Введем обозначение

$$p = \begin{cases} (p_0, p_1, \dots, p_k, p_k, \dots, p_1, p_0, 0, \dots, 0)^T, & n = 2k; \\ (p_0, p_1, \dots, p_k, p_{k+1}, p_k, \dots, p_1, p_0, 0, \dots, 0)^T, & n = 2k + 1, \end{cases} \quad p \in \mathbf{R}^{2^j \alpha(n+1)+n}.$$

Кроме того, определим оператор $R_s : \mathbf{R}^m \rightarrow \mathbf{R}^m$ следующим правилом

$$R_s a = \begin{cases} \begin{pmatrix} 0, \dots, 0, a_1, \dots, a_{m-s} \\ s \end{pmatrix}^T, & m > s \geq 0; \\ \begin{pmatrix} a_{|s|+1}, \dots, a_m, 0, \dots, 0 \\ |s|+1 \end{pmatrix}^T, & -m < s < 0; \end{cases} \quad a = (a_1, \dots, a_m)^T.$$

Если $|s| \geq m$, то $R_s a = 0$. Отметим некоторые свойства данного оператора.

Лемма 1. Справедливы следующие равенства

1) Если $k, j \geq 0$, то $(R_{k+j} a)^T \cdot b = (R_k a)^T \cdot (R_{-j} b)$;

2) Если $i, j \geq 0$ или $i, j \leq 0$, то $R_{i+j} a = R_i \circ R_j a$;

3) Если $\mathbf{a} = (a_1, \dots, a_k, 0, \dots, 0)^T \in \mathbf{R}^m$, $\mathbf{b} = (b_1, \dots, b_m)^T$, то $\mathbf{a}^T \cdot \mathbf{b} = (R_{m-k} \mathbf{a})^T \cdot R_{m-k} \mathbf{b}$ и $R_{-j} \circ R_s \mathbf{a} = R_{s-j} \mathbf{a}$, $0 \leq s \leq m-k$, $j \geq 0$.

4) Если $\mathbf{a} = \begin{pmatrix} 0, \dots, 0, a_1, \dots, a_k \\ l \end{pmatrix}^T \in \mathbf{R}^m$, $\mathbf{b} = \begin{pmatrix} 0, \dots, 0, b_1, \dots, b_s \\ n \end{pmatrix}^T \in \mathbf{R}^m$, то

$$\mathbf{a}^T \cdot \mathbf{b} = (R_{-\min(l,n)} \mathbf{a})^T \cdot R_{-\min(l,n)} \mathbf{b}.$$

Доказательство. Докажем первое свойство, остальные очевидны.

$$\begin{aligned} (R_{k+j} \mathbf{a})^T \cdot \mathbf{b} &= (0, \dots, 0, a_1, \dots, a_{m-k-j})^T \cdot (b_1, \dots, b_m) = \sum_{i=1}^{m-k-j} a_i b_{k+j+i}; \\ (R_k \mathbf{a})^T (R_{-j} \mathbf{b}) &= (0, \dots, 0, a_1, \dots, a_{m-k})^T (b_{j+1}, \dots, b_m, 0, \dots, 0) = \\ &= 0b_{j+1} + \dots + 0b_{j+k} + a_1 b_{j+k+1} + \dots + a_{m-j-k} b_m = (R_{k+j} \mathbf{a})^T \cdot \mathbf{b}. \blacksquare \end{aligned}$$

Используя введенные выше обозначения, матрицу P_j можно записать следующим образом:

$$P_j = \frac{1}{2^n} \left((R_{-n} \mathbf{p}), (R_{-n+2} \mathbf{p}), \dots, (R_{-n+2^j \alpha(n+1)} \mathbf{p}) \right). \quad (2)$$

Для определения матрицы T_j рассмотрим скалярные произведения

$$q_k = (N_n(\cdot), N_n(\cdot - k)) = \int_{-\infty}^{+\infty} N_n(x) N_n(x-k) dx = \int_0^{n+1} N_n(x) N_n(x-k) dx.$$

Ясно, что $q_k = 0$, $k \leq -n-1$, $k \geq n+1$. Кроме того,

$$q_k = \begin{cases} \int_0^{n+1} N_n(x) N_n(x-k) dx, & 0 \leq k < n+1; \\ \int_0^{n+k+1} N_n(x) N_n(x-k) dx, & -n-1 < k < 0. \end{cases}$$

Заметим, что

$$q_k = \int_k^{n+1} N_n(x) N_n(x-k) dx = \int_0^{n+1-k} N_n(y+k) N_n(y) dy = q_{-k}, \quad k = 0, 1, \dots, n.$$

Легко видеть, что, если ввести в рассмотрение матрицы

$$\Lambda = (\lambda_{m,k})_{m=-n, k=0}^{n, n}, \quad \Omega = (\omega_{k,m})_{k,m=1}^n, \quad \Theta = (\theta_{k,m})_{k,m=1}^n, \quad \text{где } \lambda_{m,k} = \int_k^{k+1} N_n(z) N_n(z-m) dz,$$

$$\Omega = \begin{bmatrix} \lambda_{0,n} & \lambda_{1,n} & \lambda_{2,n} & \dots & \lambda_{n-1,n} \\ \lambda_{1,n} & \sum_{s=n-1}^n \lambda_{0,s} & \sum_{s=n-1}^n \lambda_{1,s} & \dots & \sum_{s=n-1}^n \lambda_{n-2,s} \\ \lambda_{2,n} & \sum_{s=n-1}^n \lambda_{1,s} & \sum_{s=n-2}^n \lambda_{0,s} & \dots & \sum_{s=n-2}^n \lambda_{n-3,s} \\ \lambda_{3,n} & \sum_{s=n-1}^n \lambda_{2,s} & \sum_{s=n-2}^n \lambda_{1,s} & \dots & \sum_{s=n-3}^n \lambda_{n-4,s} \\ \dots & \dots & \dots & \dots & \dots \\ \lambda_{n-1,n} & \sum_{s=n-1}^n \lambda_{n-2,s} & \sum_{s=n-2}^n \lambda_{n-3,s} & \dots & \sum_{s=1}^n \lambda_{0,s} \end{bmatrix}, \quad \Theta = \begin{bmatrix} \sum_{s=0}^{n-1} \lambda_{0,s} & \sum_{s=0}^{n-2} \lambda_{-1,s} & \sum_{s=0}^{n-3} \lambda_{-2,s} & \dots & \lambda_{1-n,0} \\ \sum_{s=0}^{n-2} \lambda_{-1,s} & \sum_{s=0}^{n-2} \lambda_{0,s} & \sum_{s=0}^{n-3} \lambda_{-1,s} & \dots & \lambda_{2-n,0} \\ \sum_{s=n-1}^{n-3} \lambda_{-2,s} & \sum_{s=n-2}^{n-3} \lambda_{-1,s} & \sum_{s=n-3}^n \lambda_{0,s} & \dots & \lambda_{3-n,0} \\ \dots & \dots & \dots & \dots & \dots \\ \lambda_{1-n,n} & \lambda_{2-n,0} & \lambda_{3-n,0} & \dots & \lambda_{0,0} \end{bmatrix}$$

и векторы

$$\mathbf{d}_1 = (\omega_{11}, \omega_{21}, \dots, \omega_{n1}, q_n, 0, \dots, 0)^T, \quad \mathbf{d}_2 = (\omega_{12}, \omega_{22}, \dots, \omega_{n2}, q_{n-1}, q_n, 0, \dots, 0)^T, \dots,$$

$$\mathbf{d}_n = (\omega_{1n}, \omega_{2n}, \dots, \omega_{nn}, q_1, \dots, q_n, 0, \dots, 0)^T \in \mathbf{R}^{2^j \alpha(n+1)+n},$$

$$\mathbf{u}_1 = (0, \dots, 0, q_n, \dots, q_1, \theta_{11}, \dots, \theta_{n1})^T, \quad \mathbf{u}_2 = (0, \dots, 0, q_n, \dots, q_2, \theta_{12}, \dots, \theta_{n2})^T, \dots,$$

$$\mathbf{u}_n = (0, \dots, 0, q_n, \theta_{1n}, \dots, \theta_{nn})^T \in \mathbf{R}^{2^j \alpha(n+1)+n},$$

$$\mathbf{q} = (q_n, q_{n-1}, \dots, q_1, q_0, q_1, \dots, q_{n-1}, q_n, 0, \dots, 0)^T \in \mathbf{R}^{2^j \alpha(n+1)+n},$$

то матрица $\left[(\Phi_j, \Phi_j) \right]$ может быть представлена в виде

$$\left[(\Phi_j, \Phi_j) \right] = \frac{1}{2^j} (\mathbf{d}_1, \dots, \mathbf{d}_n, \mathbf{q}, R_1 \mathbf{q}, \dots, R_{2^j \alpha(n+1)-n-1} \mathbf{q}, \mathbf{u}_1, \dots, \mathbf{u}_n).$$

Перейдем теперь к построению матрицы

$$2^j \cdot T_j = 2^j \cdot P_j^T \left[(\Phi_j, \Phi_j) \right] = (t_{i,s})_{i=1, s=1}^{2^{j-1}\alpha(n+1)+n, 2^j\alpha(n+1)+n}$$

Пусть

$$t_{i+1,s} = (R_{-n+2i}p)^T \cdot d_s, \quad i = 0, 1, \dots, n-1, \quad s = 1, \dots, n;$$

$$g_{i+1-2^{j-1}\alpha(n+1), s} = (R_{-n+2i}p)^T \cdot u_s, \quad i = 2^{j-1}\alpha(n+1), \dots, n-1+2^{j-1}\alpha(n+1), \quad s = 1, \dots, n.$$

По лемме 1, для $s = 0, 1, \dots, 2^j\alpha(n+1) - n - 1$, имеем

$$t_{i+1, s+n+1} = (R_{-n+2i}p)^T \cdot R_s q = p^T \cdot (R_{n-2i} \circ R_s) q = p^T \cdot R_{n-2i+s} q.$$

По определению векторов p и q , получаем

$$p^T \cdot R_{n-2i+s} q = 0 \Leftrightarrow (s - 2i \geq 2) \vee (s - 2i \leq -3n - 1).$$

Обозначим $w_{l+3n} = p^T \cdot R_{n+l} q$, $l = -3n, \dots, 1$. Далее, для $i \geq 0$, $s = 1, \dots, n$ имеем

$$(R_{n+2i}p)^T \cdot d_s = p^T \cdot R_{-n-2i} d_s = p^T \cdot (R_{-2i} \circ R_{-n}) d_s.$$

Поскольку $R_{-n} d_s = R_{-(2n+1-s)} q$, то $(R_{n+2i} p)^T \cdot d_s = p^T \cdot R_{-(2n+1-s+2i)} q$.

Следовательно,

$$(R_{n+2i}p)^T \cdot d_s = 0 \Leftrightarrow s - 2i \leq 0.$$

Заметим, что $(R_{n+2i} p)^T d_n = p^T R_{-n-1-2i} q$ и $(R_{n+2i} p)^T q = p^T \cdot R_{-n-2i} q$.

По лемме 1, для $i = 0, 1, \dots, 2^{j-1}\alpha(n+1) - 1$, получаем

$(R_{-n+2i}p)^T \cdot u_s = (R_{2i}p)^T \cdot R_n u_s$. Но $R_n u_s = R_{2^j\alpha(n+1)+s-1} q$, поэтому

$(R_{-n+2i}p)^T \cdot u_s = (R_{2i}p)^T \cdot R_{2^j\alpha(n+1)+s-1} q$. По лемме 1 имеем

$(R_{-n+2i}p)^T \cdot u_s = p^T \cdot R_{2^j\alpha(n+1)+s-1-2i} q$. Следовательно,

$$(R_{-n+2i}p)^T \cdot u_s = 0 \Leftrightarrow s - 2i \geq n + 3 - 2^j \alpha(n+1).$$

Заметим, что

$$(R_{-n+2i} p)^T R_{2^j \alpha(n+1) - n - 1} q = p^T \cdot R_{-2i+2^j \alpha(n+1) - 1} q \text{ и } (R_{-n+2i} p)^T \cdot u_1 = p^T \cdot R_{2^j \alpha(n+1) - 2i} q.$$

Итак, теперь можно выписать матрицу T_j . Пусть

$$w = (w_0 \ w_1 \ w_2 \ \dots \ w_{3n} \ w_{3n+1} \ 0 \dots 0)^T \in \mathbf{R}^{2^j \alpha(n+1) + n};$$

$$t_i = (t_{i,1} \ t_{i,2} \ \dots \ t_{i,n} \ 0 \dots 0)^T \in \mathbf{R}^{2^j \alpha(n+1) + n}, \ i = 1, \dots, n;$$

$$g_i = (0, \dots, 0, g_{i,1}, \dots, g_{i,n})^T \in \mathbf{R}^{2^j \alpha(n+1) + n}, \ i = 1, \dots, n.$$

Тогда

$$T_j = \frac{1}{2^j} \begin{pmatrix} (t_1 + (R_n \circ R_{-2n-n})w)^T \\ \dots \\ (t_n + (R_n \circ R_{-2-n})w)^T \\ w^T \\ (R_2 w)^T \\ \dots \\ (R_{2^j \alpha(n+1) - 2n - 2} w)^T \\ (R_{-n} \circ R_{2^j \alpha(n+1) - 2n + n} w + g_1)^T \\ \dots \\ (R_{-n} \circ R_{2^j \alpha(n+1) - 2 + n} w + g_n)^T \end{pmatrix}.$$

Очевидно, что имеют место равенства

$$p^T \cdot R_{-2n+i} q = p^T \cdot R_{n+1-i} q, \ i = 0, 1, \dots, s, \quad s = \begin{cases} n + \frac{n}{2}, & n - \text{четное}; \\ n + \frac{n-1}{2}, & n - \text{нечетное}. \end{cases}$$

Поэтому для $n = 2k$ имеем $w = (w_0, w_1, \dots, w_{3k-1}, w_{3k}, w_{3k}, w_{3k-1}, \dots, w_1, w_0, 0, \dots, 0)^T$, а

для $n = 2k + 1$ $w = (w_0, w_1, \dots, w_{3k}, w_{3k+1}, w_{3k+2}, w_{3k+1}, w_{3k}, \dots, w_1, w_0, 0, \dots, 0)^T$.

Итак, нужно найти $2^{j-1}\alpha(n+1)$ линейно независимых решений

$\mathbf{h}_s = (h_{1,s}, h_{2,s}, \dots, h_{2^{j-1}\alpha(n+1)+n,s})^T$ системы линейных уравнений $T_j \mathbf{h}_s = 0$. Эти

решения и представляют собой столбцы матрицы $Q_j = (\mathbf{h}_1, \dots, \mathbf{h}_{2^{j-1}\alpha(n+1)})$.

Поскольку $rg T_j = rg P_j = 2^{j-1}\alpha(n+1) + n$ (по количеству линейно

независимых столбцов), то $\dim \ker T_j = 2^{j-1}\alpha(n+1)$. Поэтому такие линейно

независимые решения можно найти. Нам нужны не произвольные линейно

независимые решения. Мы будем искать столбцы \mathbf{h}_s таким образом, чтобы

функции $\psi_{j,s}(x) = \sum_{i=1}^{2^{j-1}\alpha(n+1)+n} h_{i,s} \cdot \varphi_{j,-n+(i-1)}(x)$, по возможности представляли

собой сдвинутые версии одной функции, т.е. имели бы одну форму (за

исключением, конечно, граничных вейвлетов). Осуществить это можно

следующим образом. Рассмотрим сначала случай $n = 2k$. Положим

$$\mathbf{h}_s = (0, \dots, 0, h_{2k+2(s-n-1)+1,s}, \dots, h_{2k+2(s-n-1)+6k+1,s}, 1, 0, \dots, 0)^T, \quad s = n+1, \dots, 2^{j-1}\alpha(n+1) - n,$$

где

$$\begin{pmatrix} (R_{-6k} \tilde{\mathbf{w}})^T \\ (R_{-6k+2} \tilde{\mathbf{w}})^T \\ \dots \\ (R_{6k} \tilde{\mathbf{w}})^T \end{pmatrix} \begin{pmatrix} h_{2k+2(s-n-1)+1,s} \\ \dots \\ h_{2k+2(s-n-1)+6k+1,s} \\ 1 \end{pmatrix} = 0, \quad \tilde{\mathbf{w}} = (w_0, w_1, \dots, w_{3k}, w_{3k}, \dots, w_0)^T \in \mathbf{R}^{3n+2}.$$

Заметим, что

$$\begin{pmatrix} (R_{-6k} \tilde{\mathbf{w}})^T \\ (R_{-6k+2} \tilde{\mathbf{w}})^T \\ \dots \\ (R_{6k} \tilde{\mathbf{w}})^T \end{pmatrix} = \begin{pmatrix} t_{s-n, 2k+2(s-n)-1} & \dots & t_{s-n, 8k+2(s-n)} \\ & \dots & \\ t_{6k+(s-n), 2k+2(s-n)-1} & \dots & t_{6k+(s-n), 8k+2(s-n)} \end{pmatrix}.$$

Оставшиеся $2n$ решений, соответствующие граничным вейвлетам, мы выберем следующим образом. Для $i = 1, 2, \dots, n$ положим

$$\mathbf{h}_{n-i+1} = (0, \dots, 0, h_{2k-i+1, n-i+1}, \dots, h_{8k+2-2i, n-i+1}, 1, 0, \dots, 0)^T,$$

где

$$\begin{pmatrix} t_{1, 2k+1-i} & \dots & t_{1, 8k+2-2i} \\ & \dots & \\ t_{6k+1-i, 2k+1-i} & \dots & t_{6k+1-i, 8k+2-2i} \end{pmatrix} \begin{pmatrix} h_{2k-i+1, n-i+1} \\ \dots \\ h_{8k+1-2i, n-i+1} \\ 1 \end{pmatrix} = 0,$$

$$\mathbf{h}_{2^{j-1}\alpha(n+1)-n+i} = (0, \dots, 0, h_{2^j\alpha(n+1)-3n-1-2i, 2^{j-1}\alpha(n+1)-n+i}, \dots, h_{2^j\alpha(n+1)+i-1, 2^{j-1}\alpha(n+1)-n+i}, 1, 0, \dots, 0)^T,$$

где

$$\begin{pmatrix} t_{2^{j-1}\alpha(n+1)-2n+i, 2^j\alpha(n+1)-3n-1+2i} & \dots & t_{2^{j-1}\alpha(n+1)-2n+i, 2^j\alpha(n+1)+i} \\ & \dots & \\ t_{2^{j-1}\alpha(n+1)+n, 2^j\alpha(n+1)-3n-1+2i} & \dots & t_{2^{j-1}\alpha(n+1)+n, 2^j\alpha(n+1)+i} \end{pmatrix} \begin{pmatrix} h_{2^j\alpha(n+1)-3n-1+2i, 2^{j-1}\alpha(n+1)-n+i} \\ \dots \\ h_{2^j\alpha(n+1)+i-1, 2^{j-1}\alpha(n+1)-n+i} \\ 1 \end{pmatrix} = 0.$$

На рис. 2 представлены графики некоторых вейвлетов для $n=4$.

Рассмотрим теперь случай $n = 2k + 1$. Для $i = n + 1, \dots, 2^{j-1}(n + 1) - n$

положим $\mathbf{h}_i = (0, \dots, 0, h_{n+2(i-n-1)+1}, \dots, h_{n+2(i-n-1)+3n}, 1, 0, \dots, 0)^T$, где

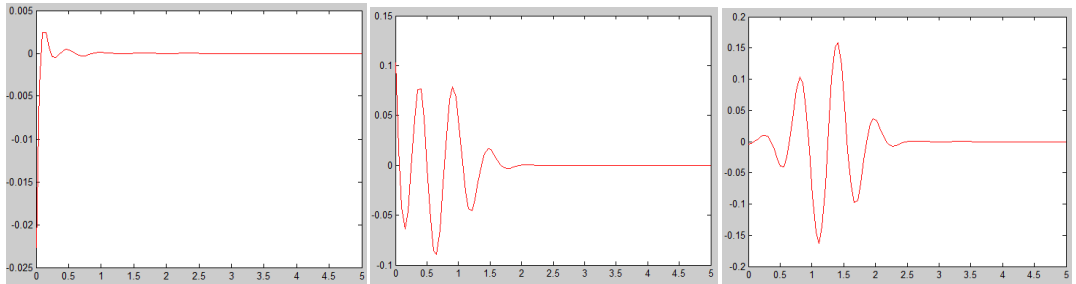
$$\begin{pmatrix} t_{i-n, n+2(i-n-1)+1} & \dots & t_{i-n, n+2(i-n-1)+3n+2} \\ & \dots & \\ t_{i-n+3n, n+2(i-n-1)+1} & \dots & t_{i-n+3n, n+2(i-n-1)+3n+2} \end{pmatrix} \begin{pmatrix} h_{n+2(i-n-1)+1} \\ \dots \\ h_{n+2(i-n-1)+3n+1} \\ 1 \end{pmatrix} = 0.$$

Для $2n$ граничных вейвлетов положим $\mathbf{h}_i = (0, \dots, 0, h_i, \dots, h_{2i+2n}, 1, 0, \dots, 0)^T$,

$\mathbf{h}_{2^{j-1}\alpha(n+1)-n+i} = (0, \dots, 0, 1, h_{2^j\alpha(n+1)+2i-3n}, \dots, h_{2^j\alpha(n+1)+i}, 0, 0, \dots, 0)^T$, $i = 1, 2, \dots, n$ где

$$\begin{pmatrix} t_{1,i} & \dots & t_{1,2i+2n} \\ t_{2n+i,i} & \dots & t_{2n+i,2i+2n} \end{pmatrix} \begin{pmatrix} h_i \\ \dots \\ h_{2i+2n-1} \\ 1 \end{pmatrix} = 0,$$

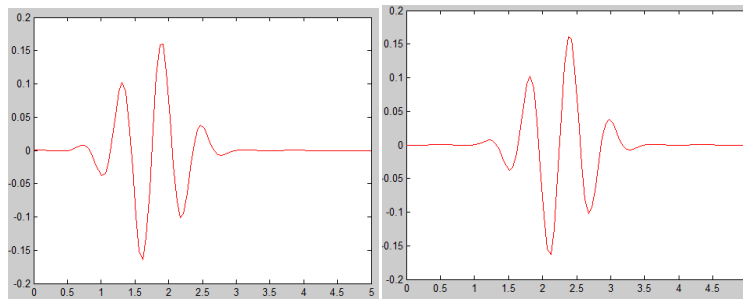
$$\begin{pmatrix} t_{2^{j-1}\alpha(n+1)-2n+i, 2^j\alpha(n+1)+2i-3n-1} & \dots & t_{2^{j-1}\alpha(n+1)-2n+i, 2^j\alpha(n+1)+i} \\ t_{2^{j-1}\alpha(n+1)+n, 2^j\alpha(n+1)+2i-3n-1} & \dots & t_{2^{j-1}\alpha(n+1)+n, 2^j\alpha(n+1)+i} \end{pmatrix} \begin{pmatrix} 1 \\ h_{2^j\alpha(n+1)+2i-3n} \\ \dots \\ h_{2^j\alpha(n+1)+i-1} \end{pmatrix} = 0.$$



а)

б)

в)



г)

д)

Рис. 2. Вейвлеты для $n=4$. а), б), в), г) граничные вейвлеты, д) внутренний вейвлет

Двумерные вейвлеты

Рассмотрим теперь применение вейвлет-систем на отрезке к построению двумерных вейвлетов. Пусть даны последовательности $V_{0,i} \subset V_{1,i} \subset \dots \subset V_{j,i} \subset$ конечномерных подпространств $L^2[a_i; b_i]$, масштабирующие функции $\varphi^{(i)}$ и блоки фильтров $P_{j,i}, Q_{j,i}, A_{j,i}, B_{j,i}$, $i=1,2$.

Стандартный подход [10] к построению многомерных вейвлет-систем является взятие тензорных произведений функций из одномерных базисов.

Определим подпространства $V_j^2 = V_{j,1} \otimes V_{j,2} = \text{lin} \{ f_1 \otimes f_2 : f_1 \in V_{j,1}, f_2 \in V_{j,2} \}$,

где функция $f_1 \otimes f_2$ определяется правилом $f_1 \otimes f_2(x, y) = f_1(x)f_2(y)$. Ясно,

что функции из пространства V_j^2 могут быть представлены в виде

$$f_1 \otimes f_2(x, y) = \left(\sum_{k=0}^{n_{j,1}-1} c_{j,k}^{(1)} \varphi_{j,k}^{(1)} \right) \otimes \left(\sum_{s=0}^{n_{j,2}-1} c_{j,s}^{(2)} \varphi_{j,s}^{(2)} \right) (x, y) = \sum_{k=0}^{n_{j,1}-1} \sum_{s=0}^{n_{j,2}-1} c_{j,k}^{(1)} c_{j,s}^{(2)} \varphi_{j,k}^{(1)}(x) \varphi_{j,s}^{(2)}(y).$$

Очевидно, что функции $\varphi_{j,k}^{(1)} \otimes \varphi_{j,s}^{(2)}$ образуют базис в пространстве V_j^2 .

Рассмотрим, как связаны между собой базисы пространств V_{j-1}^2 и V_j^2 .

Имеем

$$\varphi_{j-1,k}^{(1)} \otimes \varphi_{j-1,s}^{(2)} = \left(\sum_{m=0}^{n_{j,1}-1} p_{m,k}^{j,1} \varphi_{j,m}^{(1)} \right) \otimes \left(\sum_{l=0}^{n_{j,2}-1} p_{l,s}^{j,2} \varphi_{j,l}^{(2)} \right) = \sum_{m=0}^{n_{j,1}-1} \sum_{l=0}^{n_{j,2}-1} p_{m,k}^{j,1} p_{l,s}^{j,2} \varphi_{j,m}^{(1)} \otimes \varphi_{j,l}^{(2)}.$$

Отсюда $V_{j-1}^2 \subset V_j^2$. Введем в рассмотрение матрицы $\Phi_j^2 = \left(\varphi_{j,k}^{(1)} \otimes \varphi_{j,s}^{(2)} \right)_{k,s=0}^{n_{j,1}-1, n_{j,2}-1}$.

Тогда предыдущее равенство можно записать в виде $\Phi_{j-1}^2 = P_{j,1}^T \Phi_j^2 P_{j,2}$.

Определим пространства W_j^2 следующим образом $V_j^2 = V_{j-1}^2 \oplus W_j^2$.

Поскольку $V_{j,i} = V_{j-1,i} \oplus W_{j-1,i}$, то

$$V_j^2 = V_{j-1}^2 \oplus (W_{j-1,1} \otimes V_{j-1,2}) \oplus (V_{j-1,1} \otimes W_{j-1,2}) \oplus (W_{j-1,1} \otimes W_{j-1,2}).$$

Отсюда $W_j^2 = (W_{j-1,1} \otimes V_{j-1,2}) \oplus (V_{j-1,1} \otimes W_{j-1,2}) \oplus (W_{j-1,1} \otimes W_{j-1,2})$. Таким образом,

базис в пространстве W_j^2 образуют функции

$$\left\{ \psi_{j,k}^{(1)} \otimes \varphi_{j,s}^{(2)} \right\}_{k=0, s=0}^{m_{j,1}-1, n_{j,2}-1} \cup \left\{ \varphi_{j,k}^{(1)} \otimes \psi_{j,s}^{(2)} \right\}_{k=0, s=0}^{n_{j,1}-1, m_{j,2}-1} \cup \left\{ \psi_{j,k}^{(1)} \otimes \psi_{j,s}^{(2)} \right\}_{k=0, s=0}^{m_{j,1}-1, m_{j,2}-1}.$$

Заметим, что, если ввести в рассмотрение матрицы

$$\Psi_{1,j}^2 = \left(\varphi_{j,k}^{(1)} \otimes \psi_{j,s}^{(2)} \right)_{k=0, s=0}^{n_{j,1}-1, m_{j,2}-1}, \Psi_{2,j}^2 = \left(\psi_{j,k}^{(1)} \otimes \varphi_{j,s}^{(2)} \right)_{k=0, s=0}^{m_{j,1}-1, n_{j,2}-1}, \Psi_{3,j}^2 = \left(\psi_{j,k}^{(1)} \otimes \psi_{j,s}^{(2)} \right)_{k=0, s=0}^{m_{j,1}-1, m_{j,2}-1},$$

то, как и выше, получим $\Psi_{1,j-1}^2 = P_{j,1}^T \Phi_j Q_{j,2}$, $\Psi_{2,j-1}^2 = Q_{j,1}^T \Phi_j P_{j,2}$, $\Psi_{3,j}^2 = Q_{j,1}^T \Phi_j Q_{j,2}$.

Пусть $f \in L^2([a_1; b_1] \times [a_2; b_2])$ и $S_j : L^2([a_1; b_1] \times [a_2; b_2]) \rightarrow V_j^2$ - проектор.

Тогда

$$S_j f = \sum_{m=0}^{n_{j,1}-1} \sum_{l=0}^{n_{j,2}-1} c_{m,l}^j \varphi_{j,m}^{(1)} \otimes \varphi_{j,l}^{(2)} = \sum_{m=0}^{n_{j,1}-1} \sum_{l=0}^{n_{j,2}-1} \left(\sum_{k=0}^{n_{j-1,1}-1} \sum_{s=0}^{n_{j-1,2}-1} c_{k,s}^{j-1} p_{m,k}^{j,1} p_{l,s}^{j,2} + \right. \\ \left. \sum_{k=0}^{m_{j-1,1}-1} \sum_{s=0}^{n_{j-1,2}-1} r_{k,s}^{j-1} q_{m,k}^{j,1} p_{l,s}^{j,2} + \sum_{k=0}^{n_{j-1,1}-1} \sum_{s=0}^{m_{j-1,2}-1} h_{k,s}^{j-1} p_{m,k}^{j,1} q_{l,s}^{j,2} + \sum_{k=0}^{m_{j-1,1}-1} \sum_{s=0}^{m_{j-1,2}-1} d_{k,s}^{j-1} q_{m,k}^{j,1} q_{l,s}^{j,2} \right) \varphi_{j,m}^{(1)} \otimes \varphi_{j,l}^{(2)}.$$

Если ввести в рассмотрение матрицы

$$C_j = \left(c_{m,l}^j \right)_{m,l=0}^{n_{j,1}-1, n_{j,2}-1}, R_j = \left(r_{k,s}^j \right)_{k=0, s=0}^{m_{j,1}-1, n_{j,2}-1}, H_j = \left(h_{k,s}^j \right)_{k=0, s=0}^{n_{j,1}-1, m_{j,2}-1}, D_j = \left(d_{k,s}^j \right)_{k=0, s=0}^{m_{j,1}-1, m_{j,2}-1},$$

то из последнего равенства получаем

$$C_j = P_{j,1} C_{j-1} P_{j,2}^T + Q_{j,1} R_{j-1} P_{j,2}^T + P_{j,1} H_{j-1} Q_{j,2}^T + Q_{j,1} D_{j-1} Q_{j,2}^T. \quad (3)$$

Поскольку линейные операторы (проекторы)

$S_{j,i}^V : V_{j,i} \rightarrow V_{j-1,i}$, $S_{j,i}^W : V_{j,i} \rightarrow W_{j-1,i}$ определяются матрицами

$A_{j,i} = \left(a_{km}^{j,i} \right)_{k=0, m=0}^{n_{j-1,i}-1, n_{j,i}-1}$, $B_{j,i} = \left(b_{km}^{j,i} \right)_{k=0, m=0}^{n_{j-1,i}-1, n_{j,i}-1}$, то должны иметь место равенства

$$\varphi_{j,k}^{(i)} = \sum_{s=0}^{n_{j-1,i}-1} a_{s,k}^{j,i} \cdot \varphi_{j-1,s}^{(i)} + \sum_{l=0}^{m_{j-1,i}-1} b_{l,k}^{j,i} \cdot \psi_{j-1,l}^{(i)}.$$

Отсюда находим

$$\begin{aligned}
\varphi_{j,k}^{(1)} \otimes \varphi_{j,m}^{(2)} &= \sum_{s=0}^{n_{j-1,1}-1} \sum_{u=0}^{n_{j-1,2}-1} a_{s,k}^{j,1} a_{u,m}^{j,2} \varphi_{j-1,s}^{(1)} \otimes \varphi_{j-1,u}^{(2)} + \sum_{l=0}^{m_{j-1,1}-1} \sum_{u=0}^{n_{j-1,2}-1} b_{l,k}^{j,1} a_{u,m}^{j,2} \psi_{j-1,l}^{(1)} \otimes \varphi_{j-1,u}^{(2)} + \\
&+ \sum_{s=0}^{n_{j-1,1}-1} \sum_{v=0}^{m_{j-1,2}-1} a_{s,k}^{j,1} b_{v,m}^{j,2} \varphi_{j-1,s}^{(1)} \otimes \psi_{j-1,v}^{(2)} + \sum_{l=0}^{m_{j-1,1}-1} \sum_{v=0}^{m_{j-1,2}-1} b_{l,k}^{j,1} b_{v,m}^{j,2} \psi_{j-1,l}^{(1)} \otimes \psi_{j-1,v}^{(2)}.
\end{aligned}$$

Поэтому

$$\begin{aligned}
c_{s,u}^{j-1} &= \sum_{k=0}^{n_{j,1}-1} \sum_{m=0}^{n_{j,2}-1} c_{k,m}^j a_{s,k}^{j,1} a_{u,m}^{j,2}; & r_{l,u}^{j-1} &= \sum_{k=0}^{n_{j,1}-1} \sum_{m=0}^{n_{j,2}-1} c_{k,m}^j b_{l,k}^{j,1} a_{u,m}^{j,2}; \\
h_{s,v}^{j-1} &= \sum_{k=0}^{n_{j,1}-1} \sum_{m=0}^{n_{j,2}-1} c_{k,m}^j a_{s,k}^{j,1} b_{v,m}^{j,2}; & d_{l,v}^{j-1} &= \sum_{k=0}^{n_{j,1}-1} \sum_{m=0}^{n_{j,2}-1} c_{k,m}^j b_{l,k}^{j,1} b_{v,m}^{j,2}.
\end{aligned}$$

Итак,

$$\mathbf{C}_{j-1} = \mathbf{A}_{j,1} \mathbf{C}_j \mathbf{A}_{j,2}^T; \quad \mathbf{R}_{j-1} = \mathbf{B}_{j,1} \mathbf{C}_j \mathbf{A}_{j,2}^T; \quad \mathbf{H}_{j-1} = \mathbf{A}_{j,1} \mathbf{C}_j \mathbf{B}_{j,2}^T; \quad \mathbf{D}_{j-1} = \mathbf{B}_{j,1} \mathbf{C}_j \mathbf{B}_{j,2}^T. \quad (4)$$

Формулы (4) дают вейвлет-разложение аппроксимации $S_j f$ функции двух аргументов, а формула (3) дает вейвлет-восстановление этой аппроксимации.

Алгоритм Чайкина и его обобщение

Пусть $\mathbf{c}_{j,i} = (x_{j,i}, y_{j,i}, z_{j,i})^T \in \mathbf{R}^3$, $i=1,2,\dots,N_j$. Фиксируем в пространстве \mathbf{R}^3 декартову систему координат $\mathbf{O}, \mathbf{i}, \mathbf{j}, \mathbf{k}$. Пусть $\mathbf{c}_{j,i} = x_{j,i} \mathbf{i} + y_{j,i} \mathbf{j} + z_{j,i} \mathbf{k}$ вершины ломаной γ_j и j – номер итерации. Согласно алгоритму Чайкина [2, 5], переход от ломаной γ_j к ломаной γ_{j+1} с вершинами $\mathbf{c}_{j+1,1}, \mathbf{c}_{j+1,2}, \dots, \mathbf{c}_{j+1, N_{j+1}}$, $N_{j+1} = 2N_j - 2$ осуществляется следующим образом:

$$\mathbf{c}_{j+1,2i-1} = \frac{3}{4} \mathbf{c}_{j,i} + \frac{1}{4} \mathbf{c}_{j,i+1}; \quad \mathbf{c}_{j+1,2i} = \frac{1}{4} \mathbf{c}_{j,i} + \frac{3}{4} \mathbf{c}_{j+1,i+1}, \quad i=1,2,\dots,N-1. \quad (5)$$

Под кратномасштабной кривой будем понимать кривую с параметрическим представлением

$$\gamma_j: \mathbf{r}_j(t) = \sum_{k=-n}^{2^j \alpha(n+1)-1} \varphi_{j,k}(t) \cdot \mathbf{c}_{j,k} = \Phi_j \cdot \begin{pmatrix} \mathbf{c}_{j,-n}^T \\ \mathbf{c}_{j,-n+1}^T \\ \dots \\ \mathbf{c}_{j,2^j \alpha(n+1)-1}^T \end{pmatrix}, t \in [0; \alpha(n+1)], \quad (6)$$

т.е., если $\mathbf{r}_j(t) = (x_j(t), y_j(t), z_j(t))^T$, то $x_j(\cdot), y_j(\cdot), z_j(\cdot) \in V_{\alpha,j}$. Пусть

$$\mathbf{C}_j = \begin{pmatrix} \mathbf{c}_{j,-n}^T \\ \mathbf{c}_{j,-n+1}^T \\ \dots \\ \mathbf{c}_{j,2^j \alpha(n+1)-1}^T \end{pmatrix}, \quad \mathbf{D}_j = \begin{pmatrix} \mathbf{d}_{j,-n}^T \\ \mathbf{d}_{j,-n+1}^T \\ \dots \\ \mathbf{d}_{j,2^j \alpha(n+1)-1}^T \end{pmatrix}.$$

Тогда, если $\mathbf{C}_j = \mathbf{P}_j \mathbf{C}_{j-1} + \mathbf{Q}_j \mathbf{D}_{j-1}$, то

$$\Phi_j \mathbf{C}_j = \Phi_j \mathbf{P}_j \mathbf{C}_{j-1} + \Phi_j \mathbf{Q}_j \mathbf{D}_{j-1} = \Phi_{j-1} \mathbf{C}_{j-1} + \Psi_{j-1} \mathbf{D}_{j-1}.$$

Отсюда получается схема последовательной модификации кривой $\mathbf{r}_j(t) = \mathbf{r}_{j-1}(t) + \mathbf{e}_{j-1}$, где $\mathbf{e}_{j-1} = \Psi_{j-1} \mathbf{D}_{j-1}$, $j = 1, 2, \dots$. Покажем, что описанный выше алгоритм Чайкина укладывается в данную схему.

Пусть $n=2$, $N_j = 3 \cdot 2^j + 2$ и $\mathbf{P}_j, \mathbf{Q}_j, \mathbf{A}_j, \mathbf{B}_j$ - блок фильтров для последовательности вложенных подпространств $V_0 \subset V_1 \subset \dots$ пространства $L^2[0;3]$, построенной на основе В-сплайна 2-го порядка. Заметим, что $2 \cdot N_{j-1} - 2 = 3 \cdot 2^j + 2 = N_j$. Согласно алгоритму Чайкина $\mathbf{C}_{j-1} = \tilde{\mathbf{A}}_j \mathbf{C}_j$, но $\mathbf{A}_j \mathbf{P}_j = \mathbf{E}$, поэтому $\mathbf{C}_{j-1} = \mathbf{A}_j \mathbf{P}_j \tilde{\mathbf{A}}_j \mathbf{C}_j = \mathbf{A}_j \mathbf{C}'_j$, где $\mathbf{C}'_j = \mathbf{P}_j \tilde{\mathbf{A}}_j \mathbf{C}_j$. Поскольку для алгоритма Чайкина $\mathbf{C}_j = \mathbf{P}_j \mathbf{C}_{j-1}$, то $\mathbf{C}'_j = \mathbf{P}_j \tilde{\mathbf{A}}_j \mathbf{C}_j = \mathbf{P}_j \tilde{\mathbf{A}}_j \mathbf{P}_j \mathbf{C}_{j-1} = \mathbf{P}_j \mathbf{C}_{j-1} = \mathbf{C}_j$.

Здесь был использован тот факт, что $\tilde{A}_j P_j = E$. Итак, $C_{j-1} = A_j C_j$. Пусть $D_{j-1} = B_j C_j$. Тогда $C_j = P_j C_{j-1} + Q_j D_{j-1}$. Следует заметить, что в алгоритме Чайкина $D_{j-1} = B_j C_j = B_j P_j C_{j-1} = 0$. Таким образом, действительно алгоритм Чайкина представляет собой вейвлет-восстановление кривой класса гладкости C^1 .

Используя аналогичную схему восстановления можно обобщить алгоритм Чайкина для получения кривых произвольного класса гладкости C^k . А именно, рассмотрим произвольную ломаную, заданную набором вершин $\mathbf{c}_{j,-n}, \mathbf{c}_{j,-n+1}, \dots, \mathbf{c}_{j, 2^j \alpha(n+1)-1}$. Положим $C_s = P_s C_{s-1}$, $s = j+1, \dots$, где P_s определяется равенством (2). В результате получаем вейвлет-восстановление некоторой кривой класса C^{n-1} .

На рис.3 а) представлена начальная ломаная (синяя пунктирная линия), ломаная после трех последовательных преобразований Чайкина (зеленая жирная линия) и соответствующая кратномасштабная кривая (красная тонкая линия). На рисунке 3 б) показано применение обобщения алгоритма Чайкина.

Под кратномасштабной поверхностью будем понимать поверхность с параметрическим представлением

$$\mathbf{r}_{j,k}(u, v) = \sum_{i=-n}^{2^j \alpha(n+1)-1} \sum_{s=-m}^{2^k \beta(m+1)-1} \mathbf{c}_{i,s}^{j,k} \varphi_{j,i}(u) \varphi_{k,s}(v), \quad u \in [0; \alpha(n+1)], \quad v \in [0; \beta(m+1)],$$

где $\mathbf{c}_{i,s}^{j,k} = x_{i,s}^{j,k} \mathbf{i} + y_{i,s}^{j,k} \mathbf{j} + z_{i,s}^{j,k} \mathbf{k}$.

Если ввести в рассмотрение матрицы

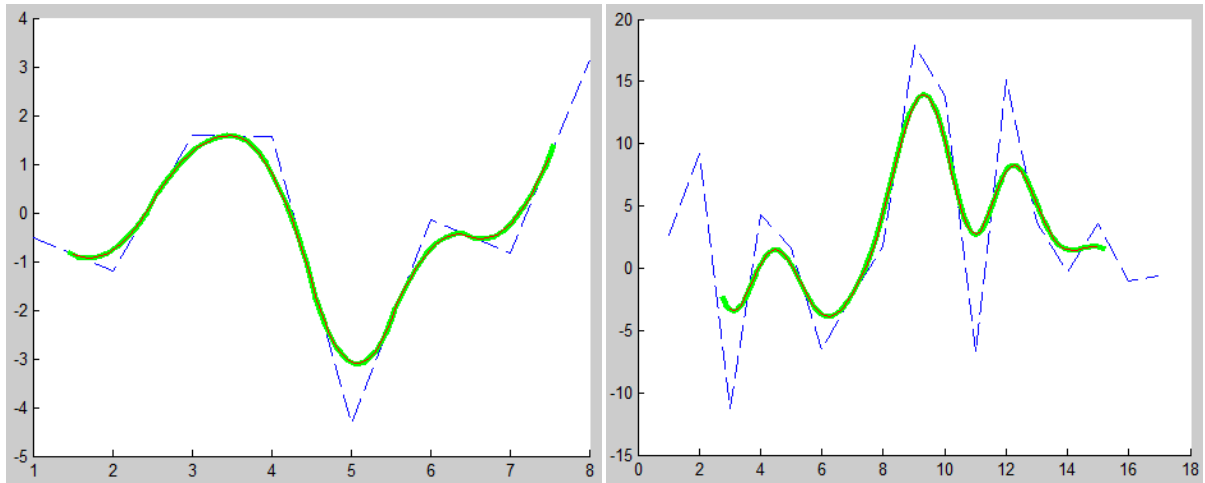
$X_{j,k} = (x_{i,s}^{j,k})$, $Y_{j,k} = (y_{i,s}^{j,k})$, $Z_{j,k} = (z_{i,s}^{j,k})$, то вектор-функцию $\mathbf{r}(u, v)$ можно

представить в виде:

$$\mathbf{r}_{j,k}(u, v) = \left(\Phi_j(u) \cdot X_j \cdot \Phi_k(v)^T, \Phi_j(u) \cdot Y_j \cdot \Phi_k(v)^T, \Phi_j(u) \cdot Z_j \cdot \Phi_k(v)^T \right)^T.$$

Заметим, что при каждом фиксированном $u_0 \in [0; \alpha(n+1)]$ или

$v_0 \in [0; \beta(m+1)]$ мы получаем кратномасштабную кривую.



а) n=2

б) n=5

Рис. 3. Алгоритм Чайкина и его обобщение. а) стандартный алгоритм

Чайкина (n=2); б) обобщенный алгоритм Чайкина (n=5)

Преобразование поверхности осуществим в два этапа. Сначала применим к ломаным с вершинами $\mathbf{c}_{i,s}^j$, $s = -m, -m+1, \dots, 2^k \beta(m+1) - 1$

обобщенный алгоритм Чайкина. В результате получим набор вершин

$\tilde{\mathbf{c}}_{i,s}^j$, $s = -m, -m+1, \dots, 2^{k+1} \beta(m+1) - 1$. Далее применим обобщенный алгоритм

Чайкина к ломаным с вершинами $\tilde{\mathbf{c}}_{i,s}^j$, $i = -n, -n+1, \dots, 2^j \alpha(n+1) - 1$.

Указанные преобразования можно свести к преобразованию строк и столбцов матриц $X_{j,k}$, $Y_{j,k}$, $Z_{j,k}$:

$$X_{j+1,k+1} = P_{j+1} X_{j,k} P_{k+1}^T; Y_{j+1,k+1} = P_{j+1} Y_{j,k} P_{k+1}^T; Z_{j+1,k+1} = P_{j+1} Z_{j,k} P_{k+1}^T.$$

Согласно равенствам (6) данное преобразование поверхности представляет собой вейвлет-восстановление некоторой поверхности класса гладкости $C^{\min(m,n)-1}$. На рис. 4 показана вентиляторная лопатка для двигателя самолета МС-21, изготавливаемая из композиционных материалов методом выкладки, смоделированная рассмотренным выше методом.

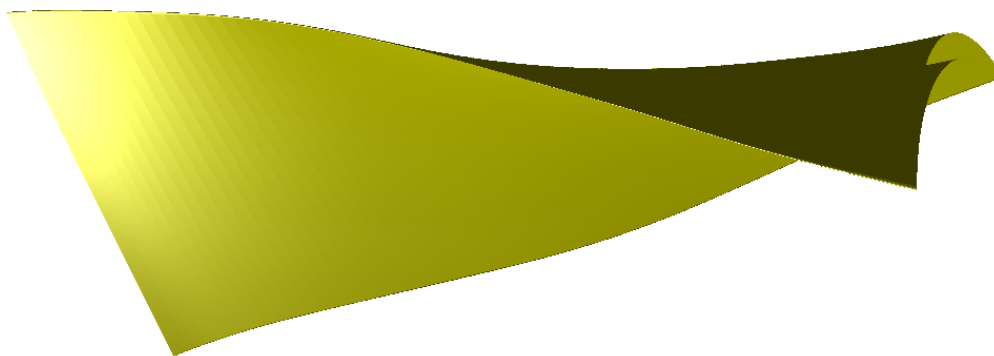


Рис. 4. Вентиляторная лопатка

Заключение

В данной статье мы рассмотрели применение теории вейвлетов в геометрическом моделировании, методы и алгоритмы которого составляют основу для систем автоматизированного проектирования. Был построен вейвлет-базис на отрезке, используя В-сплайн произвольного порядка. На основе такого вейвлет-базиса в статье построены двумерные вейвлеты и получены формулы для вейвлет-разложения и вейвлет-восстановления функций одного и двух аргументов. Показано, что известный алгоритм

Чайкина является частным случаем этих формул. Было получено обобщение этого алгоритма для построения кривых и поверхностей произвольного порядка гладкости.

Библиографический список

1. Eric J. Stollnitz, Tony D. DeRose, David H. Salesin. Wavelets for computer graphics: A primer. IEEE Computer Graphics and Applications, 15(3): pp. 76-84, May 1995 (part 1) and 15(4): pp. 75-85, July 1995 (part 2).
2. Chaikin G.M. An algorithm for high speed curve generation. Computer Graphics and Image Processing, 3(4): pp. 346-349, December 1974.
3. A. Finkelstein and David H. Salesin, Multiresolution Curves, in Siggraph '94 Proceedings ACM SIGGRAPH, Addison-Wesley eds., pp. 261-268, 1994.
4. Giancarlo Amati, Alfredo Liverani, Gianni Caligiana. The Reuse of Free-Form Surface Features: A Wavelet Approach. Proceedings of the IASTED International Conference APPLIED SIMULATION AND MODELLING, June 28-30, 2004, Rhodes, Greece, pp. 247-252.
5. Mohamed F. Hassan, Neil A. Dodgson. Reverse Subdivision. Advances in Multiresolution for Geometric Modelling, Springer, 2005, pp. 271-283
6. Столниц Э., ДеРоуз Т., Салезин Д. Вейвлеты в компьютерной графике: Пер. с англ. - Ижевск: НИЦ "Регулярная и хаотическая динамика", 2002. - 272 с.

7. Смоленцев Н.К. Основы теории вейвлетов. Вейвлеты в MatLab. - М.: ДМК Пресс, 2005. - 304 с.
8. Фрейзер М. Введение в вэйвлеты в свете линейной алгебры: Пер. с англ. - М.: БИНОМ. Лаборатория знаний, 2008. - 487 с.
9. Добеши И. Десять лекций по вэйвлетам. - Ижевск: НИЦ «Регулярная и хаотическая механика», 2001. - 464 с.
- 10.Новиков И.Я., Протасов В.Ю., Скопина М.А. Теория всплесков. – М.: ФИЗМАТЛИТ, 2005. – 616 с.
- 11.Малла С. Вэйвлеты в обработке сигналов: Пер. с англ. – М.: Мир, 2005.- 671 с.
- 12.Завьялов Ю.С., Квасов Б.И., Мирошниченко В.Л. Методы сплайн-функций. – М.: Наука, 1980. – 352 с.
- 13.Стечкин С.Б., Субботин Ю.Н. Сплаины в вычислительной математике. М.: Наука, 1976. – 248 с.